

# 大豆 *gma-miR1510a* 生物信息学分析及人工 microRNA 植物表达载体构建

倪志勇,于月华,陈全家,曲延英

(新疆农业大学农学院,新疆 乌鲁木齐 830052)

**摘要:** MicroRNAs (miRNAs) 是最近发现的一类广泛存在的内生的小 RNAs, 在转录水平负调控基因的表达。本研究采用生物信息学方法分析 *gma-miR1510a* 的靶基因和启动子中的顺式作用元件。PLACE 和 PlantCARE 启动子数据库分析表明 *gma-miR1510a* 启动子具有一些参与非生物胁迫、植物激素、组织特异表达和光应答元件。PMRD 软件预测获得 9 个 *gma-miR1510a* 靶基因, 属于抗病蛋白和 ATP 结合家族成员。通过重叠 PCR 方法替换拟南芥 *At-MIR319* 的成熟链和互补链序列, 构建含有 *amiR1510a* 前体的植物表达载体 *amiR1510a-pCAMBIA3301*。

**关键词:** 大豆; *gma-miR1510a*; amiRNA; 启动子

**中图分类号:** Q78      **文献标识码:** A      **DOI:** 10.11861/j.issn.1000-9841.2016.02.0239

## Bioinformatic Analysis of *gma-miR1510a* and Construction of Its Artificial MiRNA Plant Expression Vectors

NI Zhi-yong, YU Yue-hua, CHEN Quan-jia, QU Yan-ying

(College of Agronomy, Xinjiang Agricultural University, Urumqi 830052, China)

**Abstract:** MicroRNAs (miRNAs) are newly discovered extensive endogenous small RNAs, which negatively regulate gene expression at the post-transcription levels. In this study, the target gene and the promoter of *gma-miR1510a* gene were predicted and analyzed by bioinformatics methodology. Many response elements for abiotic stress, plant hormones, tissue-specific expression and light were predicted by the database search programs PLACE and PlantCARE. PMRD software analysis showed that 9 transcripts were targeted by *gma-miR1510a*, these targets belonged to disease resistance protein (TIR-NBS-LRR class) and ATP binding. The *amiR1510a* sequence was engineered into the miRNA and miRNA<sup>\*</sup> of *At-MIR319* using overlapping PCR and the *amiR1510a* backbone was transferred into the plant expression vector pCAMBIA3301.

**Keywords:** Soybean; *gma-miR1510a*; amiRNA; Promoter

干旱和盐碱胁迫严重影响大豆的品质和产量。提高大豆的抗旱、耐盐能力是分子育种的主要目标之一。通过转基因方法提高大豆的抗逆性是一种有效的育种手段, 因此挖掘应答干旱和盐碱胁迫的基因和其他调控因子, 为转基因育种提供候选的优异基因资源尤为重要。MicroRNAs (miRNAs) 是最近发现的一类广泛存在的内生的小 RNAs, 在转录水平负调控基因的表达<sup>[1-2]</sup>。许多研究表明 miRNAs 参与应答多种逆境胁迫<sup>[3-8]</sup>, 对这些逆境胁迫应答 miRNAs 的研究成为逆境分子生物学研究的热点。

人工 microRNA (artificial microRNA, amiRNA) 技术是一种在植物中诱导基因功能丧失的新方

法<sup>[9-12]</sup>。该技术利用 miRNA 基因骨架产生大小通常为 21 个核苷酸的人工小 RNAs, amiRNAs 参与 RNA 沉默途径, 指导沉默感兴趣的目标基因<sup>[13]</sup>。前人研究表明利用 amiRNAs 介导的基因沉默技术能够提高作物的农艺学性状、营养价值和抗逆性。例如, 在水稻中通过 amiRNA 技术已经成功沉默 *pds* (phytoene desaturase)、*Spl11* (spotted leaf 11) 和 *Eui1* (elongated uppermost internode 1/CYP714D) 等内源基因<sup>[14]</sup>。在水稻中减少 *Eui1* 基因表达能够提高稻粒品质, 而且 amiRNAs 介导的基因沉默是高度特异性的, 能够在后代中稳定遗传<sup>[15]</sup>。在马铃薯 (*Solanum tuberosum*) 中通过 amiRNA 技术沉默核心帽子

收稿日期:2015-04-18

基金项目:中国博士后科学基金资助项目(2015M582741);国家自然科学基金(31360264);新疆维吾尔自治区高校科研计划科学研究重点项目(XJEDU2014I015);新疆维吾尔自治区优秀博士后普通资助。

通讯作者:倪志勇(1981-),男,博士,副教授,主要从事植物逆境分子生物学研究。E-mail:nizhiyong@126.com。

结合蛋白CBP80,能够提高转基因株系的干旱忍耐能力<sup>[16]</sup>。目前,关于大豆抗逆相关miRNAs人工miRNA表达载体的报道不多,本课题前期通过小RNA测序分析发现大豆gma-miR1510a受盐胁迫诱导表达。本研究利用生物信息学方法分析大豆特异的miRNA gma-miR1510a的前体序列、预测其启动子中存在的顺式作用元件和靶基因并构建了人工miRNA植物表达载体,为深入研究gma-miR1510a的生物学功能奠定基础。

## 1 材料与方法

### 1.1 gma-miR1510a 前体及启动子序列分析

检索植物miRNA数据库PMRD<sup>[17]</sup>(plant microRNA database,http://bioinformatics.cau.edu.cn/PMRD/)获得gma-miR1510a的前体序列及上游3 000 bp的序列。利用TSSP(<http://www.softberry.com/berry.phml?topic=tssp&group=programs&subgroup=promoter>)预测gma-miR1510a启动子的转录起始位点。利用PlantCARE网站<sup>[18]</sup>(<http://bioinformatic.s.psb.ugent.be/webtools/plantcare/html>)和PLACE<sup>[19]</sup>(<http://www.dna.affrc.go.jp/PLACE/signalscan.html>)分析启动子中的顺式作用元件。

### 1.2 gma-miR1510a 的靶基因预测

利用在线网站psRNATarget<sup>[20]</sup>(<http://plantgrn.noble.org/psRNATarget>)预测gma-miR1510a的靶基因,选取大豆基因组数据库(Glycine\_max\_Williams\_82 8x Release v1.01, cDNA, released 10/08/2008)进行靶基因筛选,选取罚分2以下的基因作为gma-

miR1510a可能的靶基因。通过比对拟南芥中的同源基因对靶基因进行功能注释。

### 1.3 植物表达载体构建

根据大豆gma-miR1510a的成熟miRNA序列,利用WMD3网站中在线Oligo程序(<http://wmd3.weigelworld.org/cgi-bin/webapp.cgi?page=Oligo;project=stdwmd>)设计置换PCR引物,用来扩增gma-miR1510a的miRNA和miRNA<sup>\*</sup>序列。在拟南芥At-miR319前体扩增引物319-3301-F/R两端分别加入Nco I和Bgl II限制性内切酶位点,以便亚克隆至植物表达载体pCAMBIA3301中,引物序列见表1。

以At-miR319-pGM-T质粒为模板,使用LA-Taq聚合酶,用319-3301-F和gma-miR1510a-IV miR<sup>\*</sup>a,gma-miR1510a-III miR<sup>\*</sup>s和gma-miR1510a-II miR-a,gma-miR1510a-I miR-s和319-3301-R 3组引物分别扩增a,b,c片段,凝胶回收3条条带,以3条条带的混合物为模板,使用LA-Taq聚合酶,用319-3301-F/R引物扩增置换后的amiRNA的前体片段,PCR扩增体系和程序参考Schwab等<sup>[10]</sup>的方法。凝胶回收amiRNA前体片段,通过TA克隆,连接至pJET1.2载体中,经菌液PCR和测序验证amiRNA前体序列的正确性。

用限制性内切酶Nco I和Bgl II双酶切amiR1510a-pJET1.2,将凝胶回收的amiR1510a片段连接到以相同酶切的pCAMBIA3301载体中,经菌液PCR和测序检测amiR1510a-pCAMBIA3301植物表达载体的正确性。

表1 引物序列

Table 1 Primer sequences

引物 Primer	引物序列 Primer sequences
gma-miR1510a-I miR-s	5'-GATTGTTGTTAACCTATTCCACCCCTCTCTTTGTATTCC-3'
gma-miR1510a-II miR-a	5'-GAGGGTCCAATAGGTAACACAATCAAAGAGAATCAATGA-3'
gma-miR1510a-III miR <sup>*</sup> s	5'-GAGGATGGAATAGGTTAACACAATCACAGGTCGTATATG-3'
gma-miR1510a-IV miR <sup>*</sup> a	5'-GATTGTTGTTAACCTATTCCATCCTCTACATATATATTCC-3'
319-3301-F	5'-TAACCATGGCAAACACACCGCTGGACGCATATT-3'
319-3301-R	5'-TTTAGATCTCATGGCGATGCCCTAAATAAGATAAACCC-3'

## 2 结果与分析

### 2.1 大豆 *gma-miR1510a* 的序列分析

*gma-miR1510a* 的前体序列长度为 93 bp, 定位于大豆 16 号染色体 31518908-31519000 [ + ]。*gma-miR1510a* 的成熟序列长度为 23 bp, 图 1 为 *gma-miR1510a* 前体茎环结构, 方框表示成熟序列。序列比对发现大豆和野生大豆 *gma-miR1510* 家族的成员的前体一致性较高, 达到 92.82%, 成熟的 23 bp 的 miRNA 序列相差 1 个碱基(图 2)。

### 2.2 大豆 *gma-miR1510a* 启动子中顺式作用元件分析

采用 TSSP 在线预测 *gma-miR1510a* 上游 3 000 bp 序列的转录起始位点位, 发现其转录起始位点位于前体序列上游 1 629 bp 处。利用 PlantCARE 和 PLACE 网站分析转录起始位点上游 1 371 bp 的序列中的顺式作用元件, 结果发现 *gma-miR1510a* 启动子中含有基本启动子元件 TATA-box 和 CAAT-box, 激素应答元件包括生长素应答元件 TGA-element 和水杨酸应答元件 TCA-element, 胚乳表达必须的顺式调控元件 Skn-1\_motif, 部分光响应应答元件 GATA-motif 和 Box I, 与非生物胁迫应答相关元件包括冷和脱水应答调控元件 DRE, 热激应答元件 HSE, 参与干旱诱导的 MYB 结合元件 MBS(图 3)。

### 2.3 大豆 *gma-miR1510a* 的靶基因预测及分析

利用 psRNATarget 预测 *gma-miR1510a* 的靶基因, 获得 9 个罚分 2 分以下的靶基因(表 2), 发现 *gma-miR1510a* 的靶基因与拟南芥抗病蛋白和跨膜受体编码基因同源, 暗示 *gma-miR1510a* 可能参与调控植物对病原菌的抵抗。

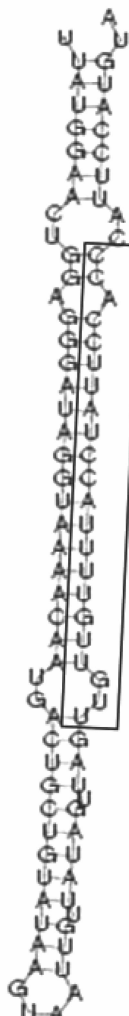


图 1 *gma-miR1510a* 前体茎环结构

Fig. 1 The miRNA precursor of *gma-miR1510a* stem-loop structure

<i>gma-MIR1510a</i>	.....	<b>UUAUGGAA</b> CUGGAGGGAUAGGUAAAACAAU <u>GCACUCCUGUA</u> AAGU	45
<i>gma-MIR1510b</i>	.....	<b>UUUAUGGAA</b> GUGGAGGGAUAGGUAAAACAA <u>CUACUUCCUGUA</u> AAAGU	46
<i>gso-MIR1510a</i>	<b>GGAUUUUAUGGAA</b> CUGGAGGGAUAGGUAAAACAA <u>UGACUGCUGUA</u> AAAGU	50	
<i>gso-MIR1510b</i>	<b>GGAUUUUAUGGAA</b> GUGGAGGGAUAGGUAAAACAA <u>CUACUUCCUGUA</u> AAAGU	50	
<i>gma-MIR1510a</i>	<b>AAUUGUUUAUAGGUUAGGUU</b> GUUGGUUGUUUUACCUAUCCACCA <u>AUUCCCAUC</u> UA..	93	
<i>gma-MIR1510b</i>	<b>AAUUGUUUAUAGGUUAGGUU</b> GUUGGUUGUUUUACCUAUCCACCA <u>AUUCCCAUC</u> UA..	94	
<i>gso-MIR1510a</i>	<b>AAUUGUUUAUAGGUUAGGUU</b> GUUGGUUGUUUUACCUAUCCACCA <u>AUUCCCAUC</u> UA..	100	
<i>gso-MIR1510b</i>	<b>AAUUGUUUAUAGGUUAGGUU</b> GUUGGUUGUUUUACCUAUCCACCA <u>AUUCCCAUC</u> UA..	100	

图 2 大豆 *miR1510* 基因家族前体序列比对

Fig. 2 Multiple sequence alignment of precursor sequence of *miR1510* gene family in soybean

ACTTGT TTTATTACCTGACTTTAGTCATCGTCAGCAATAGGTATTTAAACTTGGAACGCTACA  
TGGACAATCATTACTGTTTGTATCCTAATAAAAAAAATTGACTTTCATCAATGACATGTAGG  
AAAGCAGACAGCGCAGTCTGACAAGAATCAAATCTGTACATGGAGGAGTT**GTCGTT**AGTTAA  
TGA-element  
ATCAAGTTGAATCCATTCAAGACATTCTCCTATAATTCT**GTCATT**CTTGAGGTAATCTAAGCATT  
Skn-1\_motif  
GCATTTATTAAGAAATGTGGCTGTTACCCATTTCATTAACCTGTATAA**GTCATAAGTCATAAAG**  
Skn-1\_motif Skn-1\_motif  
CAATTGCTTAGATATTCTTAATCTATATAAACTGCTGAAGCATATGACTATCTATGTAATGGCA  
GCTCCCACCAGAATCCCAGCAGCAATTGCTCAATTGCC**CAGTTA**ACTTGGTTAGAAAGTTAATATCT  
MBS  
CGTGCCTGCAAGAACTGTAAGGAGGGCCTTTATAACATGGATGAAGTAGCTGAAGCTGAAAT  
CTTTTGACTTCTAACAA**GACCGG**GAGAACATTGAAAATAAGGCTTATGACAAGGCCT  
MBS  
TTAACCTTAATGCTCAATACACTGTTGATTCAACAAACAT**TATTCTTCGCTTCA**ATTTCATT  
TCA-element  
**ATTAA**TTTATCTCGTTGAAGTATTAGGTTGCTT**TTCAAT**GGTTGAAGGTAGTTAGGACT  
GATA-motif Box I  
ATAGAAAACAAAGTTAATATAAGAATTCAATTGTTCAAATAGTAATTAAAATTCTCAAGGACT  
AATTGCTCTTTAGAAGTTCAAGTGCAGCAA**ACCGAC**GAAAGGGGCAATT**TCAA**  
DRE Box I  
AATTATTAAGAGTAAATTAAATTATATTCAAAAGGAATAAATTAGGTTATGCTACGACTT  
GTGAATTGAATTGAAGGTAGTAAAGTATGTTACAATTCTTTCTATTTCAGTGAAGTAGTAAACT  
ATTTCGATTTCATATACTTAAAGTTGAAGG**AATTCTTC**CAATTAAAG**TCATAAA**AT  
HSE Skn-1\_motif  
TTTACGATTTCACACAAACTTAAATCGTAAAGAAGTATTCTTTCTTTCAACAAA  
GTCGTAACAACTCAACTTCATTTAAATT**TCATAAA**ATTATGCTTCACAAATTATT  
Skn-1\_motif  
**TATA**ACACATATAAAATAAAATTAAATTATTACTAAATAAAATAAAATT**TACA**ATT  
TATA-box CAAT-box  
**AAATTGAAA**ATAAAATAAAAGATTACCAAAAAATT**TATA**ACTTTATTAAAAAAAT  
Box I TATA-box

图 3 *gma-miR1510a* 启动子序列Fig. 3 The promoter sequence of *gma-miR1510a*表 2 *gma-miR1510a* 靶基因预测Table 2 Target genes prediction of *gma-miR1510a*

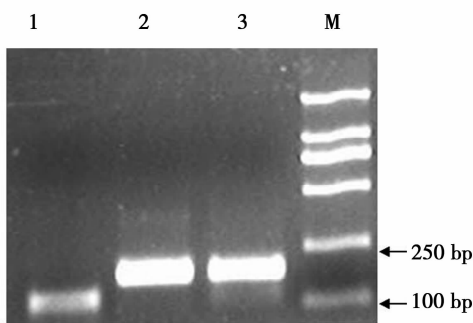
靶位点 Targets	罚分 Expectation	同源基因 Homologous genes	靶位点类型 Target description
Glyma04g39740	2.0	AT5G36930	抗病蛋白 (TIR-NBS-LRR class)
Glyma06g36310	1.0	AT5G40910	抗病蛋白 (TIR-NBS-LRR class)
Glyma16g24940	2.0	AT5G36930	抗病蛋白 (TIR-NBS-LRR class)
Glyma16g25140	2.0	AT5G17680	抗病蛋白 (TIR-NBS-LRR class)
Glyma16g26270	2.0	AT5G17680	抗病蛋白 (TIR-NBS-LRR class)
Glyma16g27540	2.0	AT5G17680	抗病蛋白 (TIR-NBS-LRR class)
Glyma18g14660	1.5	AT5G17680	抗病蛋白 (TIR-NBS-LRR class)
Glyma19g07660	2.0	AT1G56540	抗病蛋白 (TIR-NBS-LRR class)
Glyma19g07680	2.0	AT1G72840	ATP结合/蛋白结合/跨膜受体

## 2.4 植物表达载体 *amiR1510a-pCAMBIA3301* 的构建

通过置换 PCR 方法获得包含 *gma-miR1510a* 的大小分别为 118, 176 和 178 bp 3 个片段 a、b 和 c (图 4)。将 3 个片段混合作为模板, PCR 扩增获得 422 bp 的 *amiR1510a* 前体序列(图 5), 将 *amiR1510a*

前体序列连接至 pJET1.2 载体中, PCR 结果表明从重组菌液中扩增出大小一致的条带(图 4), 经测序比对表明 *amiR1510a* 碱基没有发生突变。将 *amiR1510a* 前体序列酶切后连接至植物表达载体 pCAMBIA3301 载体中, PCR 结果表明扩增出 422 bp 的 *amiR1510a* 片段(图 5), 测序结果表明 *a-*

*miR1510a* 序列碱基没有发生突变, amiR1510a-pCAMBIA3301 的构建完成。

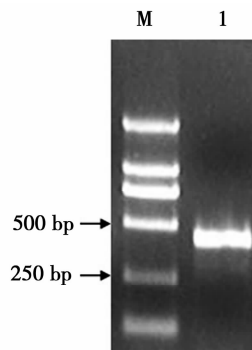


M: DL2000 marker; 1: a 片段 PCR 产物; 2: b 片段 PCR 产物; 3: c 片段 PCR 产物。

M: DL2000 marker; 1: PCR product of a fragment; 2: PCR product of b fragment; 3: PCR product of c fragment.

图4 重叠PCR扩增产物

Fig. 4 Over-lapping PCR product

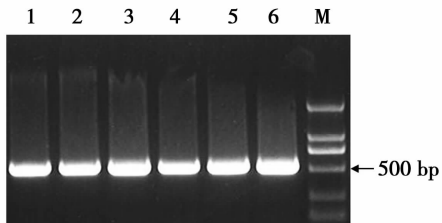


M: DL2000 marker; 1: PCR 产物。

M: DL2000 marker; 1: PCR product.

图5 大豆 *gma-miR1510a* 前体序列的扩增

Fig. 5 Amplification of the *gma-miR1510a* precursor sequence

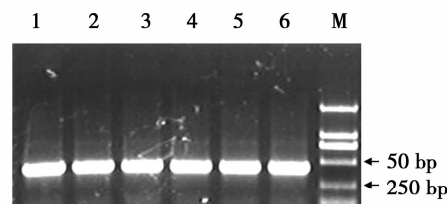


M: DL2000 marker; 1~6: amiR1510a-pJET1.2 重组质粒 PCR 产物。

M: DL2000 marker; 1~6: PCR product of amiR1510a-pJET1.2 recombinant plasmid.

图6 PCR检测 amiR1510a-pJET1.2 重组质粒

Fig. 6 PCR detection recombinant plasmid of amiR1510a-pJET1.2



M: DL2000 marker; 1~6: amiR1510a-pCAMBIA3301 重组质粒 PCR 产物。

M: DL2000 marker; 1~6: PCR product of amiR1510a-pCAMBIA3301 recombinant plasmid.

图7 PCR 检测 amiR1510a-pCAMBIA3301 重组质粒

Fig. 7 PCR detection recombinant plasmid of amiR1510a-pCAMBIA3301

### 3 讨论

植物 amiRNA 技术利用 miRNAs 和其靶 mRNA 之间的高度互补性来确保 amiRNAs 沉默的特异性。相比 RNA 干扰 (RNAi) 和病毒诱导的基因沉默 (VIGS), 植物 amiRNAs 有许多优点, 例如极小的脱靶效果和多基因沉默的能力<sup>[10,21]</sup>。本研究构建了 *gma-miR1510a* 的 amiRNA 表达载体, 为转化大豆鉴定 *gma-miR1510a* 的生物学功能奠定基础。

本研究对 *gma-miR1510a* 的 1 371 bp 启动子分析发现存在非生物胁迫、植物激素和光应答元件, 其中 MBS 元件在拟南芥中是一个参与干旱忍耐的 MYB 结合位点<sup>[22]</sup>, DRE 元件是一个 DREB 转录因子特异结合元件, 是植物应答逆境胁迫中非依赖 ABA 信号途径的一个主要元件<sup>[23]</sup>, 暗示 *gma-miR1510a* 可能参与对干旱等非生物胁迫的应答。类似的, 李永光等<sup>[24]</sup>通过预测发现 *gma-miR1508a* 的启动子中含有 ABA、干旱和低温应答元件。大豆 *gma-miR160a* 启动子中也含有一些非生物胁迫应答元件<sup>[25]</sup>。下一步将通过缺失或突变 *gma-miR1510a* 启动子中的这些顺式作用元件来验证元件的作用。

### 参考文献

- [1] Zhang B H, Pan X P, Cobb G P, et al. Plant microRNA: A small regulatory molecule with big impact [J]. Developmental Biology, 2006, 289(3):16.
- [2] Bartel D P. MicroRNAs: Genomics, biogenesis, mechanism, and function [J]. Cell, 2004, 116(2):281-297.
- [3] Llave C, Kasschau K D, Rector M A, et al. Endogenous and silencing associated small RNAs in plants [J]. Plant Cell, 2002, 14:1605-1619.
- [4] Llave C, Xie Z, Kasschau K D, et al. Cleavage of Scarecrow-like

- mRNA targets directed by a class of *Arabidopsis* miRNA [J]. *Science*, 2002, 297(5589):2053-2056.
- [5] Mallory A C, Reinhart B J, Bartel D, et al. A viral suppressor of RNA silencing differentially regulates the accumulation of short interfering RNAs and microRNAs in tobacco [J]. *Proceedings of the National Academy of Science USA*, 2002, 99:15228-1523.
- [6] Marker C, Zemann A, Terhorst T, et al. Experimental RNomics: Identification of 140 candidates for small non-messenger RNAs in the plant *Arabidopsis thaliana* [J]. *Current Biology*, 2002, 12: 2002-2013.
- [7] Park W, Li J J, Song R T, et al. CARPEL FACTORY, a Dicer homolog, and HEN1, a novel protein, act in microRNA metabolism in *Arabidopsis thaliana* [J]. *Current Biology*, 2002, 12: 1484-1495.
- [8] Reinhart B J, Weinstein E G, Rhoades M W, et al. MicroRNAs in plants [J]. *Genes Development*, 2002, 16:1616-1626.
- [9] Alvarez J P, Pekker I, Goldshmidt A, et al. Endogenous and synthetic microRNAs stimulate simultaneous, efficient, and localized regulation of multiple targets in diverse species [J]. *Plant Cell*, 2006, 18(5):1134-1151.
- [10] Schwab R, Ossowski S, Riester M, et al. Highly specific gene silencing by artificial microRNAs in *Arabidopsis* [J]. *Plant Cell*, 2006, 18(5):1121-1133.
- [11] Tang Y, Wang F, Zhao J, et al. Virus-based microRNA expression for gene functional analysis in plants [J]. *Plant Physiology*, 2010, 153(2):632-641.
- [12] Zhao T, Wang W, Bai X, et al. Gene silencing by artificial microRNAs in *Chlamydomonas* [J]. *Plant Journal*, 2009, 58(1): 157-164.
- [13] Sabluk G, Perez-Quintero A L, Hassan M, et al. Artificial microRNAs (amiRNAs) engineering - On how microRNA-based silencing methods have affected current plant silencing research [J]. *Biochemical and Biophysical Research Communications*, 2011, 406(3):315-319.
- [14] Warthmann N, Chen H, Ossowski S, et al. Highly specific gene silencing by artificial miRNAs in rice [J]. *PLoS One*, 2008, 3:e1829.
- [15] Chen H, Jiang S, Zheng J, et al. Improving panicle exertion of rice cytoplasmic male sterile line by combination of artificial microRNA and artificial target mimic [J]. *Plant Biotechnology Journal*, 2013, 11:336-343.
- [16] Pieczynski M, Marczewski W, Hennig J, et al. Down-regulation of *CBP80* gene expression as a strategy to engineer a drought-tolerant potato [J]. *Plant Biotechnology Journal*, 2013, 11:459-469.
- [17] Zhang Z, Yu J, Li D, et al. PMRD: Plant microRNA database [J]. *Nucleic Acids Research*, 2010, 38(Database issue): D806-D813.
- [18] Lescot M, Dehais P, Thijs G, et al. PlantCARE, a database of plant cis-acting regulatory elements and a portal to tools for in silico analysis of promoter sequences [J]. *Nucleic Acids Research*, 2002, 30(1):325-327.
- [19] Higo K, Ugawa Y, Iwamoto M, et al. Plant cis-acting regulatory DNA elements (PLACE) database: 1999 [J]. *Nucleic Acids Research*, 1999, 27(1):297-300.
- [20] Dai X, Zhao P X. psRNATarget: A plant small RNA target analysis server [J]. *Nucleic Acids Research*, 2011, (Web Server issue): W155-159.
- [21] Ossowski S, Schwab R, Weigel D. Gene silencing in plants using artificial microRNAs and other smallRNAs [J]. *Plant Journal*, 2008, 53: 674-690.
- [22] Urao T, Noji M, Yamaguchi-Shinozaki K, et al. A transcriptional activation domain of ATMYB2, a drought-inducible *Arabidopsis* Myb-related protein [J]. *Plant Journal*, 1996, 10(6): 1145-1148.
- [23] Xu Z S, Ni Z Y, Li Z Y, et al. Isolation and functional characterization of *HvDREB1*—a gene encoding a dehydration-responsive element binding protein in *Hordeum vulgare* [J]. *Journal of Plant Research*, 2009, 122:121-130.
- [24] 李永光, 艾佳, 王涛, 等. 大豆 *gma-miR1508a* 靶基因预测及功能分析 [J]. *大豆科学*, 2014, 33(4):479-482. (Li Y G, Ai J, Wang T, et al. The target genes prediction and analysis of *gma-miR1508a* [J]. *Soybean Science*, 2014, 33(4): 479-482.)
- [25] 倪志勇, 于月华, 刘超, 等. 大豆 *gma-miR160o* 启动子的克隆及植物表达载体构建 [J]. *华北农学报*, 2015, 30(1): 19-23. (Ni Z Y, Yu Y H, Liu C, et al. Isolation of *gma-miR160o* promoter from *Glycine max* and construction of its plant expression vectors [J]. *Acta Agriculturae Boreali-sinica*, 2015, 30(1): 19-23.)